

УДК 535.417

## ОБ УСТРАНЕНИИ ОДНОГО ПРИНЦИПИАЛЬНОГО НЕДОСТАТКА ДВУМЕРНЫХ ГОЛОГРАММ

Э. И. Крупицкий и И. С. Барбанель

При регистрации двумерных тонкослойных голограмм часть информации о регистрируемом поле безвозвратно теряется. Указываются пути устранения этого недостатка, позволяющие теоретически безошибочно извлекать информацию в тех случаях, когда обычные голографические методы мало эффективны.

### Введение

Голография позволяет решать две задачи: а) определение характеристик волнового поля (задача измерения) и б) восстановление записанной волны (задача запоминания волны и извлечения ее из памяти). Вторая задача имеет две разновидности: восстановление непреобразованной волны и восстановление с преобразованием (изменение масштаба и т. п.). Обе задачи служат в конечном итоге одной цели — получению информации в машинной, зрительной или иной форме об объектах, управляющих формированием амплитудно-фазовых и поляризационных характеристик регистрируемых волновых полей.

Целью настоящей работы является показать, что в случае двумерных тонкослойных голограмм, наиболее широко используемых на практике, часть информации о регистрируемом волновом поле безвозвратно теряется и указать некоторые пути устранения этого принципиального недостатка.<sup>1</sup> В результате появляется возможность теоретически безошибочного извлечения информации в тех случаях, когда известные голографические методы мало эффективны (случай осевого опорного пучка [2] и т. п.). Чтобы не затенять существа дела, мы не будем в дальнейшем интересоваться потерей информации за счет несовершенства регистрирующих сред и технических компонентов, а также дискретизации и квантования интерференционного поля, т. е. будем полагать, что условия регистрации и извлечения информации в указанном смысле идеальны.

### Задача измерения характеристик волнового поля

Примем для простоты, что исследуемое когерентное монохроматическое поле  $U_s(x; y; z)$  описывается в плоскости измерений одной скалярной функцией  $E_s(x; y) = f_s(x; y) e^{i\varphi_s(x; y)}$ , и регистрируется средняя по времени интенсивность интерференционного поля

$$F(x; y) = f_s^2(x; y) + f_0^2(x; y) + 2f_s(x; y)f_0(x; y) \cos [\varphi_s(x; y) - \varphi_0(x; y)]. \quad (1)$$

Здесь учтено, что опорное волновое поле  $U_0(x; y; z)$  описывается в плоскости регистрации функцией

$$E_0(x; y) = f_0(x; y) e^{i\varphi_0(x; y)}.$$

<sup>1</sup> Один из частных случаев был, по-видимому, впервые описан в работе [1].

В общем случае задача измерения голографическим методом сводится к нахождению двух функций  $f_s$  и  $\varphi_s$  по известным функциям  $F$ ,  $f_0$  и  $\varphi_0$  с помощью одного уравнения (1). Ясно, что однозначно решить это уравнение невозможно: этого нельзя сделать даже при известной функции  $f_s$ , так как наличие косинуса в (1) не позволяет однозначно определить фазовую функцию  $\varphi_s$  на промежутке  $[0; 2\pi]$ . Отмеченное затруднение носит принципиальный характер и говорит об информационной недостаточности двумерных голограмм. Трудность может быть преодолена только путем дополнительных измерений, позволяющих получить недостающее уравнение.

Эти измерения должны быть сделаны при внесении изменений в опорное волновое поле. С практической точки зрения наиболее удобным (но не единственным) представляется следующий путь: регистрируются две «квадратурные» голограммы, соответствующие случаям, когда фаза опорной волны отличается на  $\pi/2$ . При этом в дополнение к (1) получаем второе уравнение

$$G(x; y) = f_s^2(x; y) + f_0^2(x; y) + 2f_s(x; y)f_0(x; y)\sin[\varphi_s(x; y) - \varphi_0(x; y)]. \quad (2)$$

Решая систему (1), (2), найдем

$$f_s^2 = \frac{1}{\sqrt{2}} \sqrt{(F^2 + G^2) - \sqrt{(F^2 + G^2)^2 - 2[(F^2 - f_0^2)^2 + (G^2 - f_0^2)^2]}} \quad (3)$$

и

$$\varphi_s = \varphi_0 + \psi_F \cap \psi_G, \quad (4)$$

где

$$\psi_F = \arccos \frac{F^2 - f_s^2 - f_0^2}{2f_s f_0} \quad (0 \leq \psi_F \leq 2\pi), \quad (5)$$

$$\psi_G = \arcsin \frac{G^2 - f_s^2 - f_0^2}{2f_s f_0} \quad (0 \leq \psi_G \leq 2\pi). \quad (6)$$

Знаки корней в (3) соответствуют единственному решению, имеющему физический смысл, а знак пересечения множеств в (4) означает, что из четырех получающихся значений углов  $\psi_F$  и  $\psi_G$  к  $\varphi_0$  добавляется совпадающее значение  $\psi_F$  и  $\psi_G$ .

Важно отметить, что однозначное решение задачи измерения получено без наложения каких-либо специальных ограничений на функции  $E_s(x; y)$  и  $E_0(x; y)$ . Это говорит о том, что метод «квадратурных» голограмм не требует соблюдения условий, характерных для общепринятых методов голографической регистрации [3] (медленное изменение функций  $f_s$ ,  $f_0$ ,  $\varphi_s$  и  $\varphi_0$ ; большой угол между направлениями распространения волн  $U_s$  и  $U_0$  и т. п.). Таким образом, полное сохранение информации о характеристиках скалярного волнового поля на некоторой поверхности требует регистрации по крайней мере двух тонкослойных голограмм, а в случае векторного поля в общем случае — не менее четырех голограмм.

Метод «квадратурных» голограмм особенно просто реализуется в радиоголографии, когда используется подача опорного колебания прямо на фазовый детектор — достаточно параллельно включить два фазовых детектора, подавая на них опорные сигналы со сдвигом по фазе на  $90^\circ$  [4].

### Задача восстановления записанной волны

Решение этой задачи сводится к нахождению и реализации оператора, преобразующего  $F(x; y)$  и  $G(x; y)$  в волновую функцию  $U_s(x; y; z)$  записанного распределения  $E_s(x; y)$ . Главная трудность состоит при этом в отыскании таких операторов, которые допускают реализацию с помощью обычных элементов голографической техники.

Предположим, что используется идеальная амплитудная голограмма<sup>2</sup> с коэффициентом передачи (1), и рассмотрим основные причины, затруд-

<sup>2</sup> Случай фазовой голограммы не привносит принципиальных отличий в последующее рассмотрение.

няющие восстановление  $U_s(x; y; z)$ . При освещении голограммы опорной волной  $U_0(x; y; z)$  с распределением  $E_0(x; y)$  в плоскости голограммы создается дифракционное поле  $U_F(x; y; z)$ , которое с достаточной для большинства приложений точностью описывается формулой

$$\begin{aligned} U_F(x; y; z) &= \frac{1}{i\lambda} \int_S F(x; y) E_0(x; y) \frac{e^{ikr}}{r} dS = \\ &= U_{0F}(x; y; z) + \tilde{U}_s(x; y; z) + U_s^*(x; y; z), \end{aligned} \quad (7)$$

где

$$\begin{aligned} U_{0F} &= \frac{1}{i\lambda} \int_S (f_s^2 + f_0^2) f_0 \frac{e^{ikr}}{r} dS, \quad \tilde{U}_s = \frac{1}{i\lambda} \int_S E_s f_0^2 \frac{e^{ikr}}{r} dS, \\ U_s^* &= \frac{1}{i\lambda} \int_S \bar{E}_s f_0^2 \exp\{i(kr + 2\varphi_0)\} \frac{1}{r} dS. \end{aligned}$$

Компоненту  $U_{0F}$  принято называть нулевым порядком дифракции. Компонента  $\tilde{U}_s$  соответствует записанной волне и создает мнимое изображение предмета, а  $U_s^*$  является сопряженной волной и создает псевдоскопическое действительное изображение предмета.

Полезной является только компонента  $\tilde{U}_s$ , но и она, вообще говоря, содержитискажающий множитель  $f_0^2$ . В голографии обычно рассматриваются такие случаи, когда поле  $\tilde{U}_s$  восстанавливается приближенно за счет пространственного разделения трех компонент  $U_F(x; y; z)$ , однако в ряде важных примеров разделение не имеет места, что является следствием упомянутой ранее информационной недостаточности двумерной голограммы. Компоненты могут не разделяться по следующим причинам: 1) малость угла между направлениями распространения  $U_s$  и  $U_0$  при записи; 2) быстрое изменение фазовой функции  $\varphi_s(x; y)$ ; 3) быстрое изменение амплитудной функции  $f_s(x; y)$ . Возможно и совместное действие указанных причин.

Использование «квадратурных» голограмм, а также записи амплитудного распределения  $f_s(x; y)$  (без опорной волны) позволяет добиться восстановления  $U_s(x; y; z)$  во всех возможных случаях с использованием обычных элементов голографической техники.

Так, в случае действия только первой причины (голография с осевым опорным пучком) или действия первых двух причин можно использовать следующий оператор восстановления:

$$V_1[F; G] = K [\tilde{U}_F + \tilde{U}_G], \quad (8)$$

где

$$\begin{aligned} \tilde{U}_F &= \frac{1}{i\lambda} \int_S \left( \frac{1}{f_0^2} F E_0 \right) \frac{e^{ikr}}{r} dS; \\ \tilde{U}_G &= \frac{1}{i\lambda} \int_S \left( \frac{1}{f_0^2} G E_0 e^{-\frac{i\pi}{2}} \right) \frac{e^{ikr}}{r} dS, \end{aligned} \quad (9)$$

$K$  — оператор фильтрации поля нулевого порядка дифракции. Подставляя (9) в (8) и учитывая (1) и (2), получим

$$V_1[F; G] = K \left[ \sqrt{2} e^{-\frac{i\pi}{4}} \int_S \frac{1}{f_0} (f_s^2 + f_0^2) \frac{e^{ikr}}{r} dS + 2 \int_S E_s \frac{e^{ikr}}{r} dS \right] = c_1 U_s(x; y; z). \quad (10)$$

На рис. 1, а изображена схема, реализующая оператор (8) в оптической голографии. Использование «квадратурных» голограмм позволило скомпенсировать («погасить») сопряженную волну  $U_s^*$ ; на этом и основано действие оператора (8) и схемы рис. 1, а. Если использовать опорную волну с равномерным распределением амплитуды ( $f_0 = 1$ ) и фазовые голограммы, то схема упрощается — исключаются амплитудные корректоры и

пространственно-частотный фильтр нулевого порядка. Практическая реализация этого случая была описана в [1].

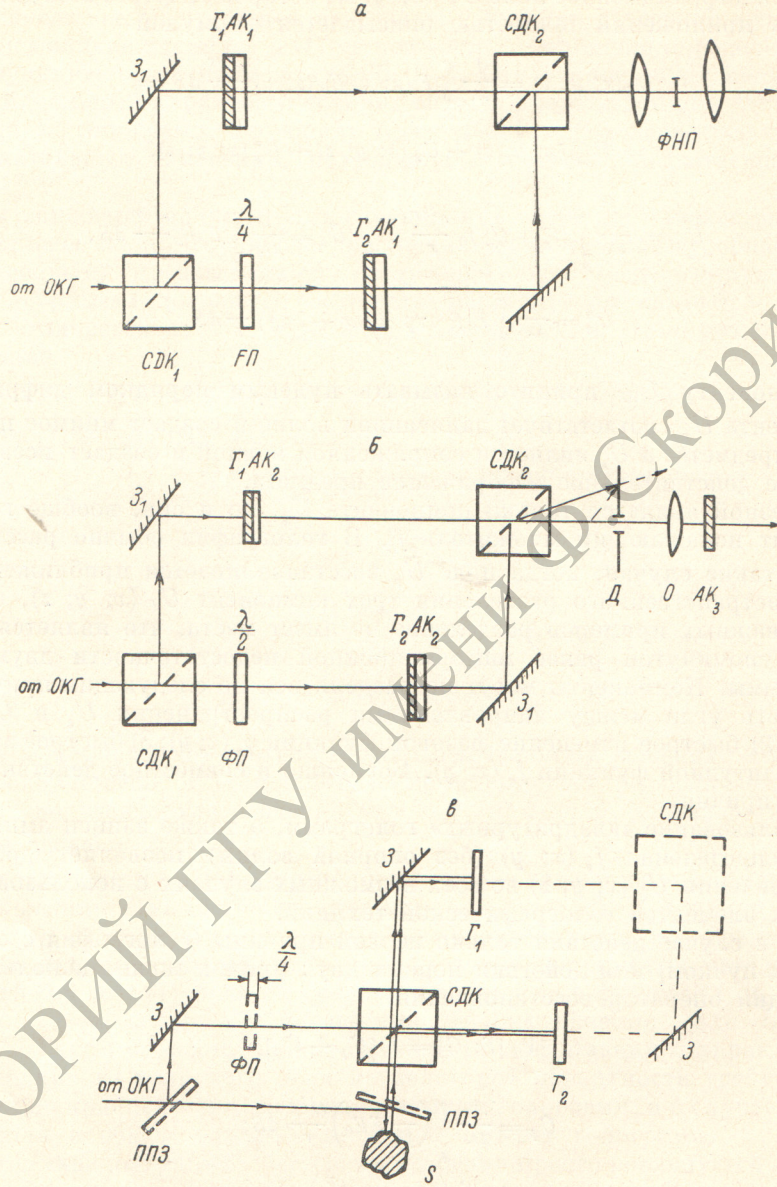


Рис. 1.

*a* — схема, реализующая оператор  $V_1$ , *b* — схема, реализующая оператор  $V_2$ , *c* — схема записи с осевым опорным пучком.  $\Gamma_{1,2}$  — голограммы с амплитудным пропусканием  $F(x, y)$  и  $G(x, y)$  соответственно,  $\Phi F$  — фазирующая пластина толщиной  $\lambda/4$  или  $\lambda/2$ ,  $СДК$  — светоделительный куб,  $З$  — зеркало,  $ППЗ$  — полупрозрачное зеркало,  $AK_{1,2,3}$  — амплитудные корректоры с коэффициентами передачи  $1/f_0^2$ ,  $1/f_g f_0^2$  и  $f_g$  соответственно,  $Д$  — диафрагма,  $О$  — объектив,  $ФНП$  — фильтр нулевого порядка дифракции,  $S$  — голограммируемый объект.

В случае действия только третьей причины можно использовать оператор восстановления вида

$$V_2[F; G] = f_s D [\mathring{U}_F + \mathring{U}_G], \quad (11)$$

где

$$\mathring{U}_F = \frac{1}{i\lambda} \int_S \left( \frac{1}{f s f_0^2} F E_0 \right) \frac{e^{ikr}}{r} dS,$$

$$\hat{U}_G = \frac{1}{i\lambda} \int_S \left( \frac{1}{f_0^2 f_s} G E_0 e^{i\pi} \right) \frac{e^{ikr}}{r} dS, \quad (12)$$

$D$  — оператор диафрагмирования и переноса изображения. Реализация  $V_2 [F; G]$  требует, помимо регистрации пары «квадратурных» голограмм, записи амплитудного распределения  $f_s (x; y)$  в той же плоскости. Подставляя (12) в (11) и учитывая (1) и (2), будем иметь

$$V_2 [F; G] = f_s D \left[ \sqrt{2} e^{i\varphi_s + i \frac{\pi}{4}} + \sqrt{2} e^{-i\varphi_s + i 2\varphi_0 - i \frac{\pi}{4}} \right] = c_2 U_s (x; y; z). \quad (13)$$

Из (13) следует, что оператор  $V_2$  выбран так, что нулевые порядки дифракции, получаемые от квадратурных голограмм, складываются в противофазе и гасят друг друга. Отделение полезной компоненты поля с помощью диафрагмы становится возможным благодаря коррекции амплитудного распределения (множитель  $1/f_s f_0^2$ ). На рис. 1, б показан вариант оптической схемы, реализующей  $V_2$ .

В общем случае совместного действия всех трех причин восстановления  $U_s (x; y; z)$  можно, например, добиться, регистрируя две пары «квадратур-

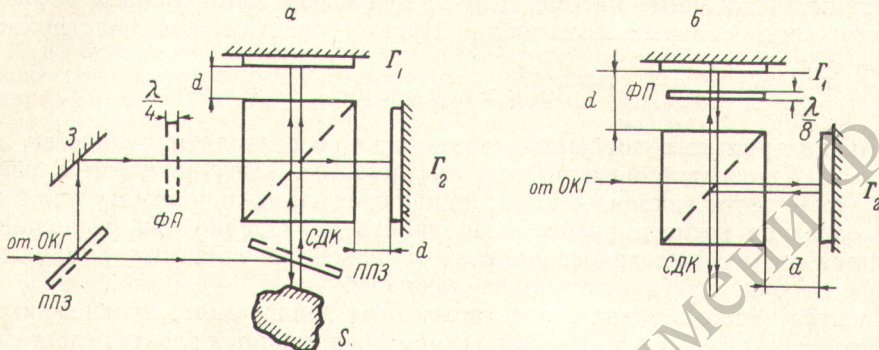


Рис. 2.

а — использование отражательных голограмм в схеме записи с осевым опорным пучком, б — схема восстановления отражательных «квадратурных» голограмм.  $\Gamma_1, \Gamma_2$  — отражательные голограммы с амплитудным пропусканием  $F(x; y)$  и  $G(x; y)$  соответственно,  $S$  — голографируемый объект,  $3$  — зеркало,  $ППЗ$  — полупрозрачное зеркало,  $ФП$  — фазирующая пластина толщиной  $\lambda/4$  или  $\lambda/8$ ,  $СДК$  — светоделительный куб.

«квадратурных» голограмм: пару, соответствующую  $F(x; y)$  и  $G(x; y)$ , и пару, соответствующую функциям

$$H(x; y) = f_s^2(x; y) + f_0^2(x; y) - 2f_s(x; y)f_0(x; y)\cos[\varphi_s(x; y) - \varphi_0(x; y)], \quad (14)$$

$$Q(x; y) = f_s^2(x; y) + f_0^2(x; y) - 2f_s(x; y)f_0(x; y)\sin[\varphi_s(x; y) - \varphi_0(x; y)], \quad (15)$$

которые получаются при сдвиге фазы опорной волны на углы  $\pi$  и  $3\pi/2$  соответственно. Оператор восстановления может быть взят в виде

$$\begin{aligned} V_3 [F; G; H; Q] = & [(U_F + U_G) + (U_H + U_Q)e^{i\pi}] = [(U_F + U_H e^{i\pi}) + \\ & + (U_G + U_Q e^{i\pi})] = 4U_s(x; y; z), \end{aligned} \quad (16)$$

где  $U_H$  и  $U_Q$  определяются выражениями (9) при замене в них  $F$  на  $H$  и  $G$  на  $Q$ . По аналогии со схемами рис. 1, а и б нетрудно составить схему, реализующую (16). Оператор (16) обеспечивает «гашение» двух компонент волновой функции: нулевого порядка дифракции и сопряженной волны.

Заметим, что если фазирующую пластину поместить в другое плечо интерферометра (рис. 1, а и б), то вместо основной волны будет восстанавливаться волна сопряженная.

Из рассмотренных выше случаев наибольший практический интерес представляет случай записи с осевым опорным пучком. Эта запись в оптическом диапазоне может быть осуществлена с помощью схемы, показанной на рис. 1, в. Голограммы должны записываться поочередно, путем перекрытия световых пучков, падающих на них. Четверть-волновая пластина, показанная штриховыми линиями, вводится только при регистрации голограммы  $\Gamma_2$ .

Серьезным практическим недостатком схем рис. 1 является необходимость использования двух высокоточных светоделительных кубиков большого размера.

От этого недостатка до некоторой степени свободны схемы, построенные на основе интерферометра Майкельсона с использованием отражательных голограмм. Для примера на рис. 2 приведены соответствующие схемы записи «квадратурных» голограмм и восстановления в случае осевого опорного пучка.

Как и в предыдущем случае, запись голограмм должна осуществляться поочередно, при этом запись одной из них производится при введении в опорный пучок четвертьвольновой фазирующей пластины. Следует заметить, что при восстановлении (рис. 1, а, б, и 2, б) использование фазирующих пластин, вообще говоря, не обязательно, так как требуемый сдвиг фазы можно обеспечить путем соответствующего смещения одной из голограмм.

Схемы, показанные на рис. 1 и 2, приведены нами лишь в порядке иллюстрации основных положений. Пример практической конструкции дан в [1].

### Заключение

«Квадратурные» голограммы принципиально позволяют полностью записать и однозначно извлечь всю информацию, содержащуюся в регистрируемой части волнового поля, не налагая каких-либо ограничений на распределения регистрируемой и опорной волн. Однако при реализации метода в оптическом диапазоне волн к элементам схем предъявляются весьма высокие требования по их точности.

Следует также заметить, что трехмерные голограммы, предложенные Денисюком [5], свободны от рассмотренного в настоящей работе недостатка двумерных голограмм.

### Литература

- [1] D. Gaborg, W. P. Goss. Opt. Soc. Am., 56, 849, 1966.
- [2] D. Gaborg. Proc. Phys. Soc., B64, 449, 1951.
- [3] Дж. Струк. Введение в когерентную оптику и голографию. Изд. «Мир», М., 1967.
- [4] G. A. Deschamps. IEEE, 55, 570, 1967.
- [5] Ю. Н. Денисюк. ДАН СССР, 144, 1275, 1962.

Поступило в Редакцию 18 января 1972 г.